Выпускная квалификационная работа

ЧИСЛЕННОЕ МОДЕЛИРОВАНИЕ РАЗЛОЖЕНИЯ ГАЗОГИДРАТА В ПЛАСТЕ ПРИ ОТБОРЕ ГАЗА

Выполнил: студент 4 курса группы ПМИ-41 Галиаскаров А.Р.

> Научный руководитель: к.ф-м.н., доцент Хасанов М.К.

Цель работы:

 теоретическое изучение особенностей разложения газовых гидратов при тепловом и депрессионном воздействии на пористую среду, частично насыщенную гидратом.

Задачи работы:

- изучить теоретические аспекты образования и существования газогидратов;
- построить аналитические решения плоскоодномерной задачи разложения газогидрата при депрессионном воздействии, позволяющие оценить давления и температуры на границе фазовых переходов и в зоне разложения;
- проанализировать результаты моделирования

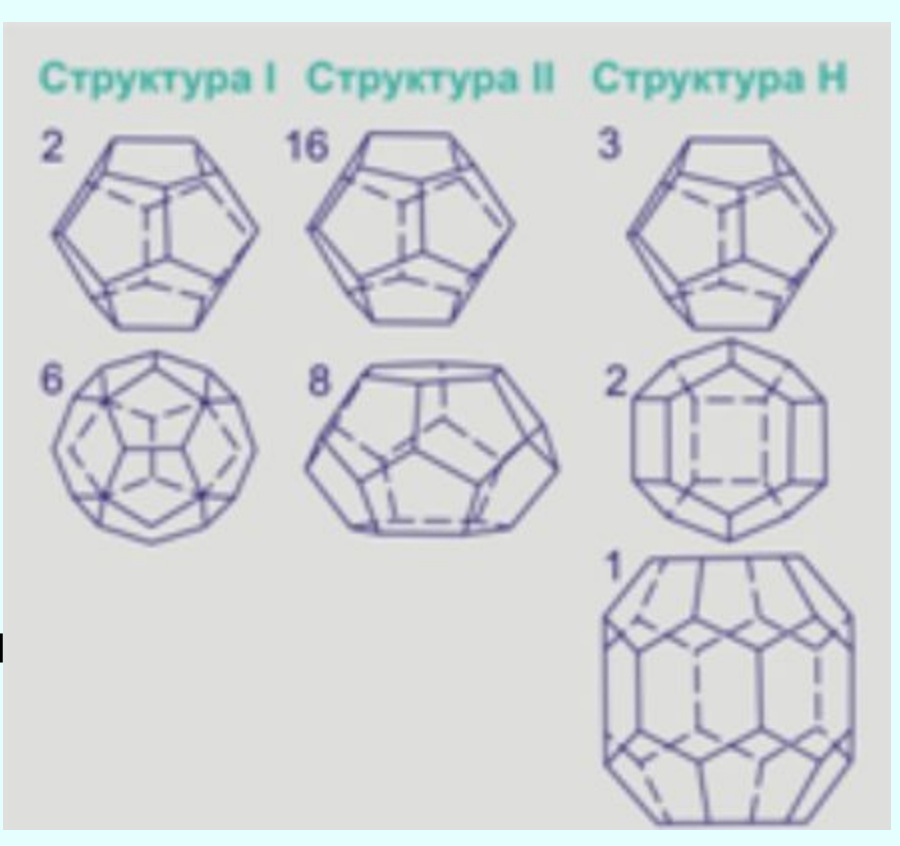
Кратко о газогидратах

- Газовые гидраты кристаллические соединения, образующиеся при определенных термобарических условиях из воды и газа.
- В общем виде состав газовых гидратов описывается формулой М*nH2O, где М — молекула газагидратообразователя, n — число, показывающее количество молекул воды, приходящихся на одну

молекулу газа

3 структуры газогидрата

- У структуры І решетка, кубической сингонии; элементарная ячейка состоит из 2 малых и 6 больших полостей.
- У структуры II решетка, кубической сингонии; в элементарной ячейке 16 малых и 8 больших полостей.
- Также известна гексагональная структура гидрата (Н), в ней имеется два типа малых полостей и один тип большой.



Использование газогидрата

- Газогидрат самый богатый на нашей планете источник углеводородного газа
- Также использование газогидрата, может повлечь ряд экологических проблем



Постановка задачи



Условие фазового равновесия

Основные допущения:

1. Пористость постоянна.

$$T_{(s)} = T_0 + T_* \ln \left(\frac{p_{(s)}}{p_{s0}} \right)$$

- 2. Скелет пористой среды, гидрат и вода несжимаемы и неподвижны.
- 3. Модель однотемпературная: температура газа, жидкости, гидрата и пористой среды в каждой точке совпадают.
- 4. Гидрат является двухкомпонентной системой

Основные уравнения

1. Уравнение сохранения массы газа: $mS_{g(i)} \frac{\partial \rho_{g(i)}}{\partial t} + \frac{\partial}{\partial x} \left(mS_{g(i)} \rho_{g(i)} \nu_{g(i)} \right) = 0$

 $S_{g(i)}$ - газонасыщенность

 $v_{g(i)}$ - массовая скорость потока газа

$$mS_{g(i)}\upsilon_{g(i)} = -\frac{k_{(i)}}{\mu_g} \frac{\partial p_{(i)}}{\partial x}$$

 $S_{g(i)}$ - газонасыщенность $v_{g(i)}$ - массовая скорость потока газа

3. Газ считаем калорически совершенным:

$$p_{(i)} = \rho_{g(i)} R_g T_{(i)}$$

4. Уравнение притока тепла, принебрегая баротермическим эффектом:

$$S_{g(i)}$$
- газонасыщенность $v_{a(i)}$ - массовая скорость потока газа λ — коэффициент теплопроводности

$$\rho c \frac{\partial T_{(i)}}{\partial t} + \rho_{g(i)} c_g m S_{g(i)} \upsilon_{g(i)} \frac{\partial T_{(i)}}{\partial x} = \frac{\partial}{\partial x} \left(\lambda \frac{\partial T_{(i)}}{\partial x} \right)$$

$$\rho c = (1 - m)\rho_s c_s + mS_g \rho_g c_g + mS_l \rho_l c_l + mS_h \rho_h c_h$$
$$\lambda = (1 - m)\lambda_s + mS_g \lambda_g + mS_l \lambda_l + mS_h \lambda_h$$

Начальные и граничные условия

Уравнения баланса массы и тепла на границе фазового перехода:

$$m v \rho_h^0 (1-g) \dot{x}_s = m S_{l(1)} \rho_l^0 \dot{x}_s \qquad \lambda_{(2)} \frac{\partial T_{(2)}}{\partial x} - \lambda_{(1)} \frac{\partial T_{(1)}}{\partial x} = m v \rho_h^0 l \dot{x}_s$$

$$m \left[(1-v) \rho_{g(s)}^0 (v_{g(2)} - \dot{x}_s) - v \rho_h^0 g \dot{x}_s \right] = m S_{g(1)} \rho_{g(s)}^0 (v_{g(1)} - \dot{x}_s)$$

 $S_{g(i)}$ - газонасыщенность

 $v_{g(i)}$ - массовая скорость потока газа

Условие фазового равновесия:

$$T_{(s)} = T_0 + T_* \ln \left(\frac{p_{(s)}}{p_{s0}} \right)$$

Давление и температура в начальный момент времени:

$$p_{(2)} = p_0, \quad T_{(2)} = T_0, \quad (t = 0, x \ge 0)$$

Непрерывность давления и температуры на границе фазового перехода:

$$p_{(1)} = p_{(2)} = p_{(s)}, \quad T_{(1)} = T_{(2)} = T_{(s)} \quad (x = x_{(s)})$$

Условия на границе пласта:

$$T_{(1)} = T_e, p_{(1)} = p_e, (t > 0, x = 0)$$

Аналитическое решение

Автомодельная переменная:

$$\xi = \frac{x}{\sqrt{\aleph^{(T)}t}} \qquad \aleph^{(T)} = \frac{\lambda}{\rho c}$$

$$\aleph^{(T)} = \frac{\lambda}{\rho c}$$

Распределение давления:

$$p_{(1)}^{2} = p_{(e)}^{2} + (p_{(s)}^{2} - p_{(e)}^{2}) \frac{\int_{0}^{\xi} \exp\left(-\frac{\xi^{2}}{4\eta_{(1)}}\right) d\xi}{\int_{0}^{\xi} \exp\left(-\frac{\xi^{2}}{4\eta_{(1)}}\right) d\xi}, (0 < \xi < \xi_{(s)}), \quad p_{(2)}^{2} = p_{(s)}^{2} + \left(p_{0}^{2} - p_{(s)}^{2}\right) \frac{\xi_{(s)}}{\int_{0}^{\xi} \exp\left(-\frac{\xi^{2}}{4\eta_{(2)}}\right) d\xi}, (\xi_{(s)} < \xi < \infty)$$

Распределение температуры:

$$T_{(1)} = T_e + \frac{\left(T_s - T_e\right) \int_0^{\xi} \exp\left(-\frac{\xi^2}{4} - \frac{\alpha_{(1)}}{2} p^2_{(1)}\right) d\xi}{\int_0^{\xi_s} \exp\left(-\frac{\xi^2}{4} - \frac{\alpha_{(1)}}{2} p^2_{(1)}\right) d\xi} \qquad T_{(2)} = T_s + \frac{\left(T_0 - T_s\right) \int_{\xi_s}^{\xi} \exp\left(-\frac{\xi^2}{4} - \frac{\alpha_{(2)}}{2} p^2_{(2)}\right) d\xi}{\int_{\xi_s}^{\infty} \exp\left(-\frac{\xi^2}{4} - \frac{\alpha_{(2)}}{2} p^2_{(2)}\right) d\xi}$$

Перейдем к автомодельной переменной:

$$\frac{\partial}{\partial t} = \frac{\partial \xi}{\partial t} \frac{d}{d\xi} = -\frac{1}{2} \frac{x}{t \sqrt{\aleph^{(T)} t}} \frac{d}{d\xi}, \qquad \frac{\partial}{\partial x} = \frac{\partial \xi}{\partial x} \frac{d}{d\xi} = \frac{1}{\sqrt{\aleph^{(T)} t}} \frac{d}{d\xi}$$

Тогда координата границы и скорость ее движения:

$$x_s = \xi_s \sqrt{\aleph^{(T)}t}, \qquad \dot{x}_s = \frac{\xi_s}{2} \frac{\aleph^{(T)}}{\sqrt{\aleph^{(T)}t}}$$

На основе уравнения неразрывности, используя закон Дарси (2) с учетом, что газ является калорически совершенным (3), получим уравнение пьезопроводности:

$$\frac{\partial p_{(i)}}{\partial t} = \frac{\partial}{\partial x} \left(\frac{p_{(i)}}{m_{(i)}} \frac{k_{(i)}}{\mu_g} \frac{\partial p_{(i)}}{\partial x} \right)$$

Уравнение притока тепла, используя закон Дарси, можно преобразовать к следующему виду:

$$\frac{\partial T_{(i)}}{\partial t} = \aleph^{(T)} \frac{\partial^2 T_{(i)}}{\partial x^2} + \frac{\rho_{g(i)} c_g}{\rho c} \frac{k_{(i)}}{\mu_g} \frac{\partial p_{(i)}}{\partial x} \frac{\partial T_{(i)}}{\partial x}$$

$$\mathbf{X}^{(T)} = \frac{\lambda}{\mathcal{OC}}$$
 — коэффициент температуропроводности

Из уравнения Баланса массы, учитывая равенство $S_{g(1)} + S_{l(1)} = 1$ получим:

$$S_{g(1)} = 1 - S_{l(1)} = 1 - \frac{\nu \rho_h^0 (1 - g)}{\rho_l^0}$$

Тогда учитывая последнее уравнение и уравнение закона сохранения массы, применив закон Дарси можно записать:

$$-\frac{k_{(2)}}{\mu_{g(2)}}\frac{\partial p_{(2)}}{\partial x} + \frac{k_{(1)}}{\mu_{g(1)}}\frac{\partial p_{(1)}}{\partial x} = mv\left(\frac{\rho_h^0 g}{\rho_{g(s)}^0} + \frac{\rho_h^0 (1-g)}{\rho_l^0} - 1\right)x_s$$

Запишем уравнение пьезопроводности в автомодельных переменных:

$$-\xi \frac{dp_{(i)}}{d\xi} = \frac{2}{\aleph^{(T)}} \frac{d}{d\xi} \left(\frac{k_{(i)}}{\mu_g m_{(i)}} p_{(i)} \frac{dp_{(i)}}{d\xi} \right)$$

Применяя метод линеаризации Лейбензона, уравнение запишем в виде:

$$-\xi \frac{dp_{(i)}^2}{d\xi} = 2\eta_{(i)} \frac{d}{d\xi} \left(\frac{dp_{(i)}^2}{d\xi} \right)$$

где
$$\eta_{(i)} = \frac{\aleph_{(i)}^{(p)}}{\aleph^{(T)}}$$
 $\aleph_{(i)}^{(p)} = \frac{k_{(i)}}{\mu_g m_{(i)}} p_0$

 $p_{\xi_{(i)}} = rac{dp_{(i)}^2}{d\xi}$. Тогда последнее уравнение запишется в виде: $rac{dp_{\xi_{(i)}}}{d\xi} + rac{\xi}{2\eta_{(i)}} p_{\xi_{(i)}} = 0$ Введем обозначение

Это уравнение с разделяющимися переменными. Разделим переменные и проинтегрируем:

$$\int \frac{dp_{\xi(i)}}{p_{\xi(i)}} = -\frac{1}{2\eta_{(i)}} \int \xi d\xi$$

$$p_{\xi(i)} = \frac{dp_{(i)}^2}{d\xi} = C_{i(p)} \exp\left(-\frac{\xi^2}{4\eta_{(i)}}\right)$$

Отсюда:

$$p_{(1)}^{2} = D_{1(p)} + C_{1(p)} \int_{0}^{\xi} \exp\left(-\frac{\xi^{2}}{4\eta_{(1)}}\right) d\xi$$

$$p_{(2)}^{2} = D_{2(p)} + C_{2(p)} \int_{\xi_{(1)}}^{\xi} \exp\left(-\frac{\xi^{2}}{4\eta_{(2)}}\right) d\xi$$

Коэффициенты $C_{i(p)}$ и $D_{i(p)}$ найдем из начальных и граничных условий:

$$\xi \to 0, \Rightarrow p_{(1)} = p_{(e)} \Rightarrow D_{1(p)} = p_{(e)}^{2}$$

$$\xi = \xi_{(s)}, \Rightarrow p_{(2)} \to p_{(s)}, \Rightarrow D_{2(p)} = p_{(s)}^{2},$$

$$\xi \to \infty, \Rightarrow p_{(2)} \to p_{0}, \Rightarrow C_{2(p)} = \frac{p_{0}^{2} - p_{(s)}^{2}}{\int_{\xi_{(s)}}^{\infty} \exp\left(-\frac{\xi^{2}}{4\eta_{(2)}}\right) d\xi},$$

$$\xi = \xi_{(s)}, \Rightarrow p_{(1)} \to p_{(s)}, \Rightarrow C_{1(p)} = \frac{p_{(s)}^{2} - p_{e}^{2}}{\int_{0}^{\xi_{(s)}} \exp\left(-\frac{\xi^{2}}{4\eta_{(1)}}\right) d\xi}$$

Тогда для распределения давления в первой и второй зонах получим уравнения:

$$p_{(1)}^{2} = p_{(e)}^{2} + (p_{(s)}^{2} - p_{(e)}^{2}) \frac{\int_{0}^{\xi} \exp\left(-\frac{\xi^{2}}{4\eta_{(1)}}\right) d\xi}{\int_{0}^{\xi} \exp\left(-\frac{\xi^{2}}{4\eta_{(1)}}\right) d\xi}, (0 < \xi < \xi_{(s)})$$

$$p_{(2)}^{2} = p_{(s)}^{2} + \left(p_{0}^{2} - p_{(s)}^{2}\right) \frac{\xi_{(s)}}{\int_{\infty}^{\xi} \exp\left(-\frac{\xi^{2}}{4\eta_{(2)}}\right) d\xi}. \quad (\xi_{(s)} < \xi < \infty)$$

$$\int_{\xi_{(s)}}^{\xi} \exp\left(-\frac{\xi^{2}}{4\eta_{(2)}}\right) d\xi.$$

Запишем уравнение баланса массы газа на границе между зонами в автомодельных переменных:

$$-\frac{k_{(2)}}{\mu_g} \frac{\partial p^2_{(2)}}{\partial \xi} + \frac{k_{(1)}}{\mu_g} \frac{\partial p^2_{(1)}}{\partial \xi} = mv \left[\frac{\rho_h g}{\rho_{g(s)}} + \frac{\rho_h (1-g)}{\rho_l} - 1 \right] x_{(s)}^{\bullet}, (x = x_{(s)})$$

С учетом полученного решения получим:

$$-k_{(2)} \frac{(p_0^2 - p_{(s)}^2) \exp\left(-\frac{\xi_{(s)}^2}{4\eta_{(2)}}\right)}{\int_{\xi_{(s)}}^{\infty} \exp\left(-\frac{\xi^2}{4\eta_{(2)}}\right) d\xi} + k_{(1)} \frac{(p_{(s)}^2 - p_{(e)}^2) \exp\left(-\frac{\xi_{(s)}^2}{4\eta_{(2)}}\right)}{\int_{0}^{\xi_{(s)}} \exp\left(-\frac{\xi^2}{4\eta_{(2)}}\right) d\xi} = mv \left[\frac{\rho_h g}{\rho_{g(s)}} + \frac{\rho_h (1 - g)}{\rho_l} - 1\right] x_{(s)}^{\bullet} \mu_g$$

Отсюда после преобразований получаем уравнение для нахождения $\,P_{\scriptscriptstyle S}$

$$p_{(s)}^{2} = \frac{k_{(2)}A_{\xi}p_{0}^{2} + k_{(1)}B_{\xi}p_{e}^{2}}{k_{(2)}A_{\xi} + k_{(1)}B_{\xi}} + \frac{mv\left[\frac{\rho_{h}g}{\rho_{g(s)}} + \frac{\rho_{h}(1-g)}{\rho_{l}} - 1\right]x_{(s)}^{\bullet}\mu_{g}}{k_{(2)}A_{\xi} + k_{(1)}B_{\xi}}$$

Где,
$$A_{\xi} = \frac{\exp\left(-\frac{\xi_{(s)}^2}{4\eta_{(2)}}\right)}{\int\limits_{0}^{\xi_{(s)}} \exp\left(-\frac{\xi_{(s)}^2}{4\eta_{(1)}}\right)} d\xi$$
 $B_{\xi} = \frac{\exp\left(-\frac{\xi_{(s)}^2}{4\eta_{(1)}}\right)}{\int\limits_{\xi_{(s)}}^{\infty} \exp\left(-\frac{\xi_{(s)}^2}{4\eta_{(2)}}\right)} d\xi$

Запишем уравнение притока тепла в автомодельных переменных:

$$-\frac{1}{2}\xi\frac{dT_{(i)}}{d\xi} = \frac{d}{d\xi}\left(\frac{dT_{(i)}}{d\xi}\right) + \frac{1}{2}\alpha_{(i)}\frac{dp_{(i)}}{d\xi}\frac{dT_{(i)}}{d\xi}$$
 где, $\alpha_{(i)} = \frac{\rho_{g0}c_gk_{(i)}}{\lambda p_0\mu_g}$ Введем обозначение $T_{\xi_{(i)}} = \frac{dT_{(i)}}{d\xi}$
$$\frac{dT_{\xi_{(i)}}}{d\xi} + \left(\frac{\xi}{2} + \frac{\alpha_{(i)}}{2}\frac{dp_{(i)}^{\ 2}}{d\xi}\right)T_{\xi_{(i)}} = 0$$

Это уравнение с разделяющимися переменными. Разделим переменные и проинтегрируем:

$$\int \frac{dT_{\xi(i)}}{T_{\xi(i)}} = -\frac{1}{2} \int \xi \, d\xi - \frac{\alpha_{(i)}}{2} \int dp_{(i)}^2$$

$$T_{\xi(i)} = \frac{dT_{(i)}}{d\xi} = C_{i(T)} \exp\left(-\frac{\xi^2}{4} - \frac{\alpha_{(i)}}{2} p^2_{(i)}\right)$$

Отсюда
$$T_{(1)} = D_{1(T)} + C_{1(T)} \int\limits_{0}^{\xi} \exp \left(-\frac{\xi^2}{4} - \frac{\alpha_{(1)}}{2} \, p^2_{(1)} \right) \! d\xi \qquad T_{(2)} = D_{2(T)} + C_{2(T)} \int\limits_{\xi_{(t)}}^{\xi} \exp \left(-\frac{\xi^2}{4} - \frac{\alpha_{(2)}}{2} \, p^2_{(2)} \right) \! d\xi$$

Коэффициенты $C_{i(p)}$ и $D_{i(p)}$ найдем из начальных и граничных условий:

$$\xi = \xi_{(s)}, \implies T_{(2)} \to T_{(s)}, \implies D_{2(T)} = T_{(s)}$$

$$\xi \to \infty, \Rightarrow T_{(2)} \to T_{(0)}, \Rightarrow C_{2(T)} = \frac{T_0 - T_{(s)}}{\int_{\xi_{(s)}}^{\infty} \exp\left(-\frac{\xi^2}{4} - \frac{\alpha_{(2)}}{2} p_{(2)}^2\right) d\xi}$$

$$\xi \to 0, \implies T_{(1)} \to T_{(e)}, \implies D_{1(T)} = T_{(e)}$$

$$\xi = \xi_{(s)} \implies T_{(1)} \to T_{(s)}, \implies C_{1(T)} = \frac{T_{(s)} - T_{(e)}}{\int_{0}^{\xi} \exp\left(-\frac{\xi^2}{4} - \frac{\alpha_{(1)}}{2} p_{(i)}^2\right) d\xi}$$

огда для распределения температуры в первой и второй зонах получим уравнения:

$$T_{(1)} = T_e + \frac{\left(T_s - T_e\right)\int_0^{\xi} \exp\left(-\frac{\xi^2}{4} - \frac{\alpha_{(1)}}{2}p^2_{(1)}\right)d\xi}{\int_0^{\xi_s} \exp\left(-\frac{\xi^2}{4} - \frac{\alpha_{(1)}}{2}p^2_{(1)}\right)d\xi}$$

$$T_{(2)} = T_s + \frac{\left(T_0 - T_s\right)\int_{\xi_s}^{\xi} \exp\left(-\frac{\xi^2}{4} - \frac{\alpha_{(2)}}{2}p^2_{(2)}\right)d\xi}{\int_{\xi_s}^{\infty} \exp\left(-\frac{\xi^2}{4} - \frac{\alpha_{(2)}}{2}p^2_{(2)}\right)d\xi}$$

Запишем уравнение баланса тепла на границе между зонами в автомодельных координатах:

$$\frac{dT_{(1)}}{d\xi} - \frac{dT_{(2)}}{d\xi} = \frac{m\nu\rho_h^0 l}{2\rho c} \xi_s$$

Подставив в это уравнение полученные решения, получим:

$$\frac{\left(T_{s}-T_{e}\right) \exp \left(-\frac{\alpha_{(1)}}{2} p_{s}^{2}\right)}{\int_{0}^{\xi_{s}} \exp \left(-\frac{\xi^{2}}{4} - \frac{\alpha_{(1)}}{2} p_{(1)}^{2}\right) d\xi} - \frac{\left(T_{0}-T_{s}\right) \exp \left(-\frac{\alpha_{(2)}}{2} p_{s}^{2}\right)}{\int_{\xi_{s}}^{\infty} \exp \left(-\frac{\xi^{2}}{4} - \frac{\alpha_{(2)}}{2} p_{(2)}^{2}\right) d\xi} = \frac{m v \rho_{h}^{0} l}{2 \rho c} \exp \left(\frac{\xi_{s}^{2}}{4}\right) \xi_{s}$$

Заменив в этом уравнении \mathcal{P}_s и T_s их значениями, получим уравнение для нахождения ξ_s , которое решается численно.

Таким образом, для построения профилей давлений и температур имеем:

$$p_{(1)}^{2} = p_{e}^{2} + (p_{s}^{2} - p_{e}^{2}) \int_{\frac{\xi}{\xi_{s}}}^{\xi} \exp\left(-\frac{\xi^{2}}{4\eta_{(1)}}\right) d\xi, \qquad T_{(1)} = T_{e} + \frac{\left(T_{s} - T_{e}\right) \int_{0}^{\xi} \exp\left(-\frac{\xi^{2}}{4} - \frac{\alpha_{(1)}}{2} p^{2}_{(1)}\right) d\xi}{\int_{0}^{\xi} \exp\left(-\frac{\xi^{2}}{4\eta_{(2)}}\right) d\xi}, \qquad (0 < \xi < \xi_{s})$$

$$p_{(2)}^{2} = p_{s}^{2} + \left(p_{0}^{2} - p_{s}^{2}\right) \int_{\frac{\xi}{s}}^{\xi_{s}} \exp\left(-\frac{\xi^{2}}{4\eta_{(2)}}\right) d\xi, \qquad T_{(2)} = T_{s} + \frac{\left(T_{0} - T_{e}\right) \int_{0}^{\xi} \exp\left(-\frac{\xi^{2}}{4} - \frac{\alpha_{(1)}}{2} p^{2}_{(1)}\right) d\xi}{\int_{\xi_{s}}^{\xi_{s}} \exp\left(-\frac{\xi^{2}}{4} - \frac{\alpha_{(2)}}{2} p^{2}_{(2)}\right) d\xi}. \qquad (\xi_{s} < \xi < \infty)$$

$$T_{(2)} = T_{s} + \frac{\left(T_{0} - T_{e}\right) \int_{\xi_{s}}^{\xi_{s}} \exp\left(-\frac{\xi^{2}}{4} - \frac{\alpha_{(2)}}{2} p^{2}_{(2)}\right) d\xi}{\int_{\xi_{s}}^{\xi_{s}} \exp\left(-\frac{\xi^{2}}{4} - \frac{\alpha_{(2)}}{2} p^{2}_{(2)}\right) d\xi}. \qquad (\xi_{s} < \xi < \infty)$$

Нахождение граничных параметров

Условие баланса тепла:

$$\frac{\left(T_{s}-T_{e}\right) \exp \left(-\frac{\alpha_{(1)}}{2} p_{s}^{2}\right)}{\int_{0}^{\xi_{s}} \exp \left(-\frac{\xi^{2}}{4} - \frac{\alpha_{(1)}}{2} p_{(1)}\right) d\xi} - \frac{\left(T_{0}-T_{s}\right) \exp \left(-\frac{\alpha_{(2)}}{2} p_{s}^{2}\right)}{\int_{\xi_{s}}^{\infty} \exp \left(-\frac{\xi^{2}}{4} - \frac{\alpha_{(2)}}{2} p_{(2)}\right) d\xi} = \frac{m v \rho_{h}^{0} l}{2 \rho c} \exp \left(\frac{\xi_{s}^{2}}{4}\right) \xi_{s}$$

Условие баланса массы:
$$-\frac{k_{(2)}}{\mu_g} \frac{\partial p^2_{(2)}}{\partial \xi} + \frac{k_{(1)}}{\mu_g} \frac{\partial p^2_{(1)}}{\partial \xi} = mv \left[\frac{\rho_h g}{\rho_{g(s)}} + \frac{\rho_h (1-g)}{\rho_l} - 1 \right] x_{(s)}^{\bullet}, (x = x_{(s)})$$

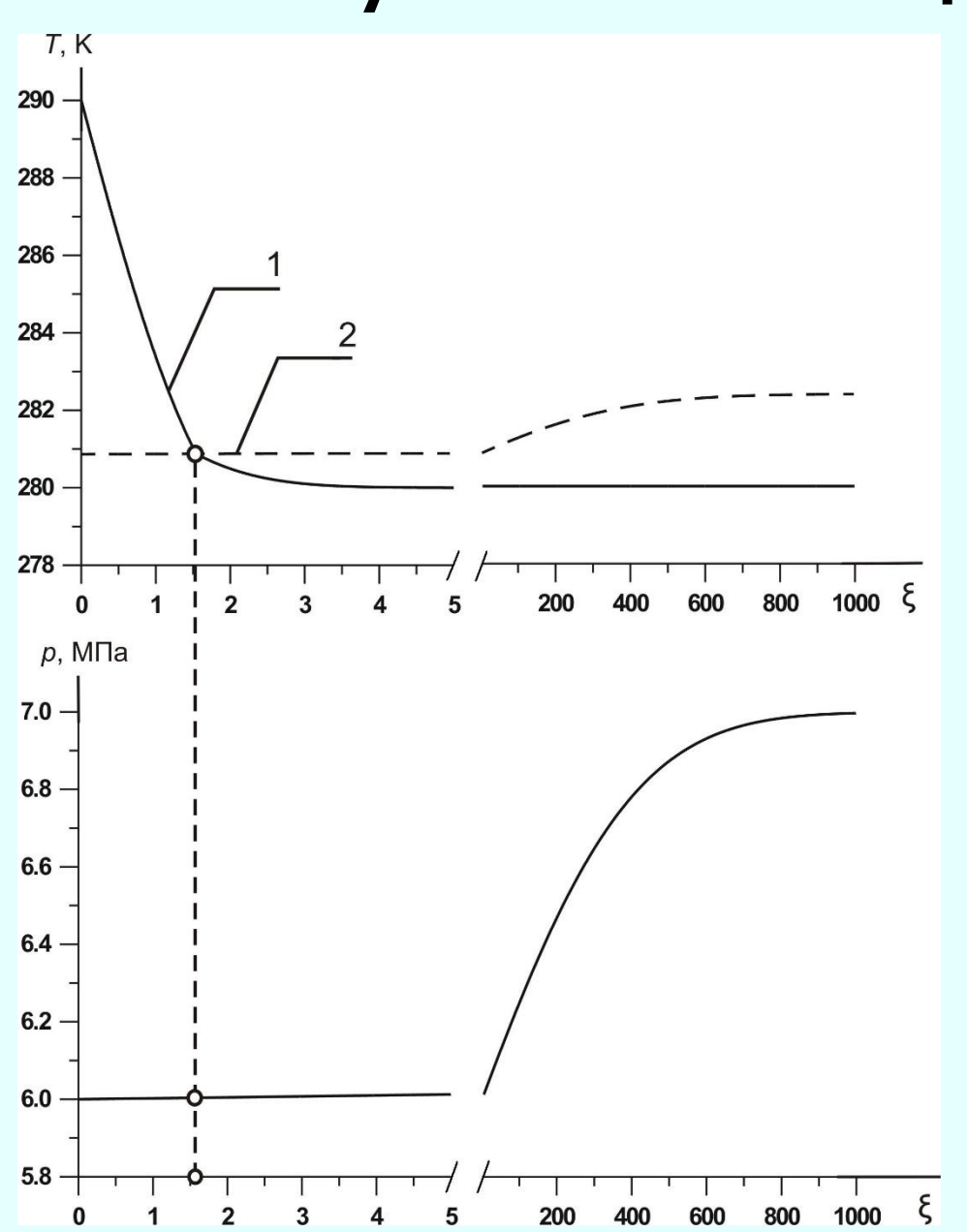
Условие фазового равновесия:

$$T_{(s)} = T_0 + T_* \ln \left(\frac{p_{(s)}}{p_{s0}} \right)$$

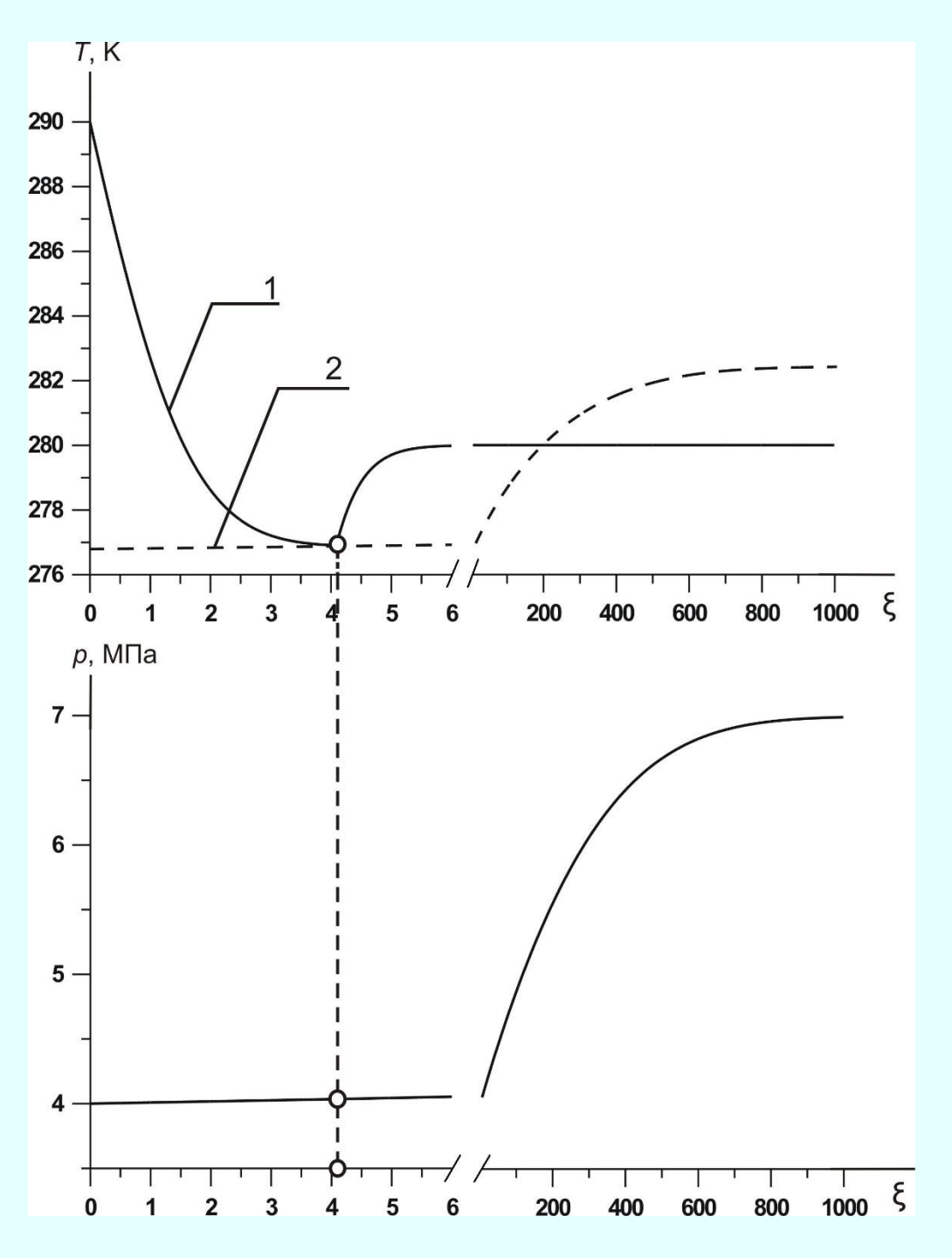
$$\aleph^{(T)} = \frac{\lambda}{\rho c} \qquad \alpha_{(i)} = \frac{\rho_{g0} c_g k_{(i)}}{\lambda p_0 \mu_g}$$

Результаты расчётов

Результаты моделирования







 $S_{g(i)}$ - газонасыщенность

 $v_{g(i)}$ - Массовая скорость потока газа

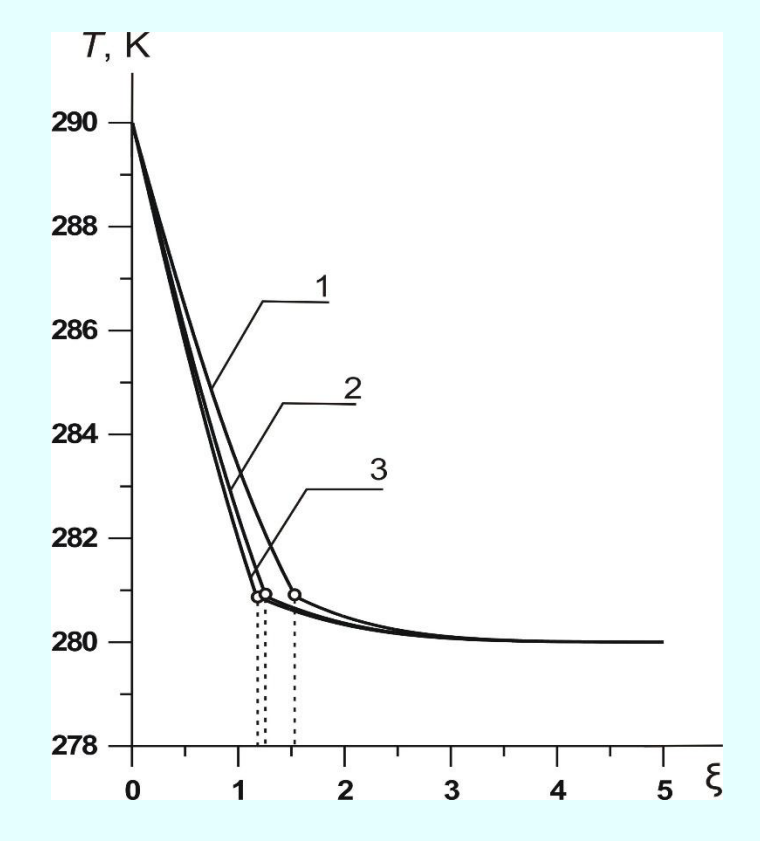


Рис 3. Распределение температуры при различных значениях гидратонасыщенности. v=0,2 (1), v=0,4 (2), v=0,5 (3), $p_0=7$ МПа, $p_e=6$ МПа.

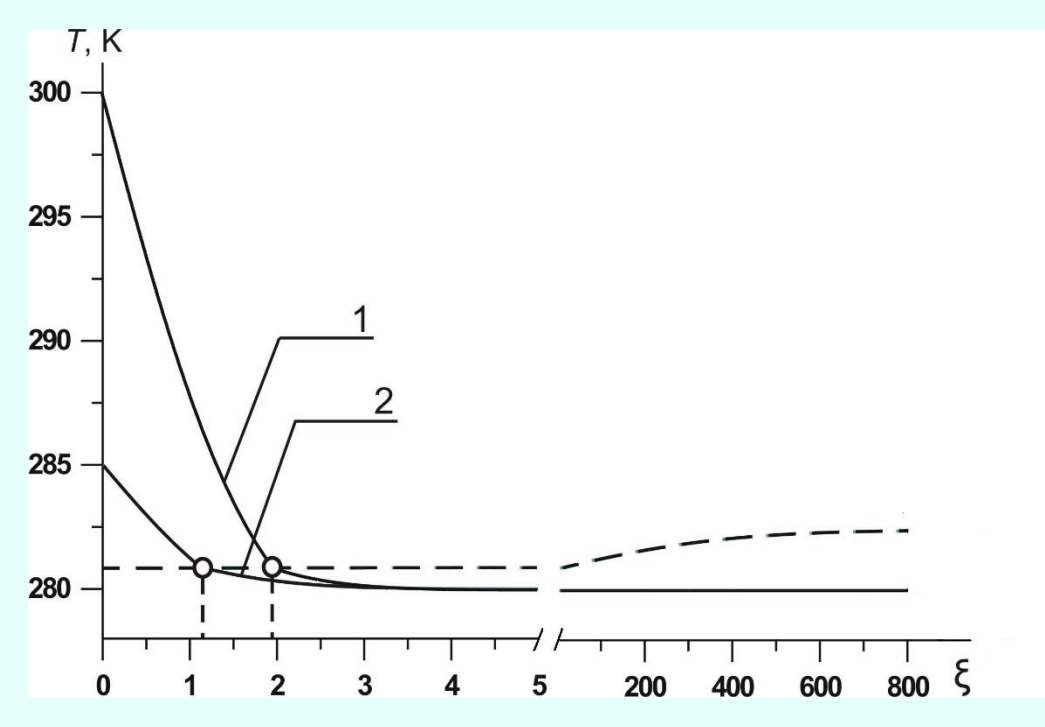
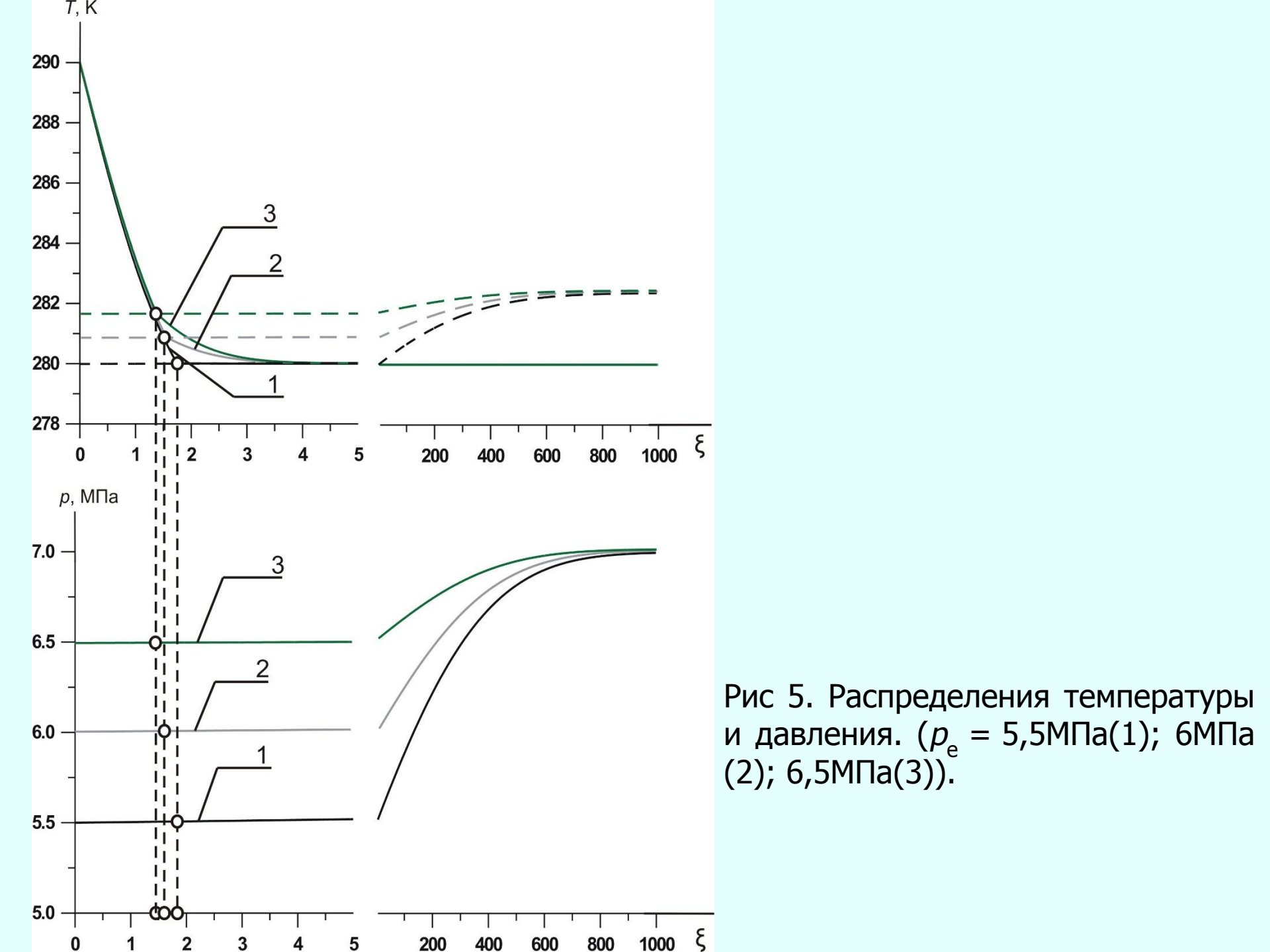


Рис 4. Распределение температуры при $p_0 = 7$ МПа, $p_{\rm e} = 6$ МПа. Линия 1 при $T_{\rm e} = 300$ К, линия 2 при $T_{\rm e} = 285$ К. Пунктирная линия соответствует равновесной температуре.



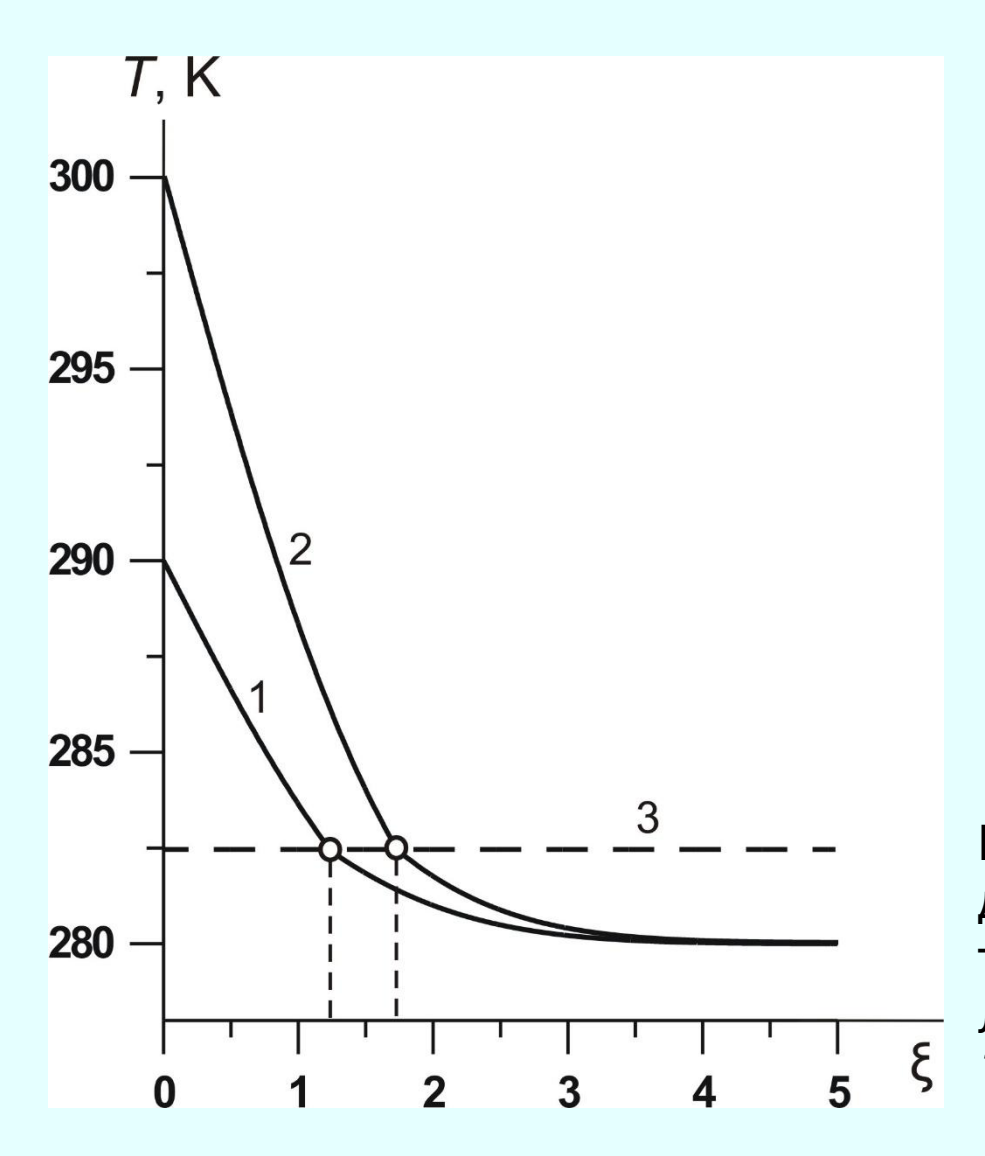
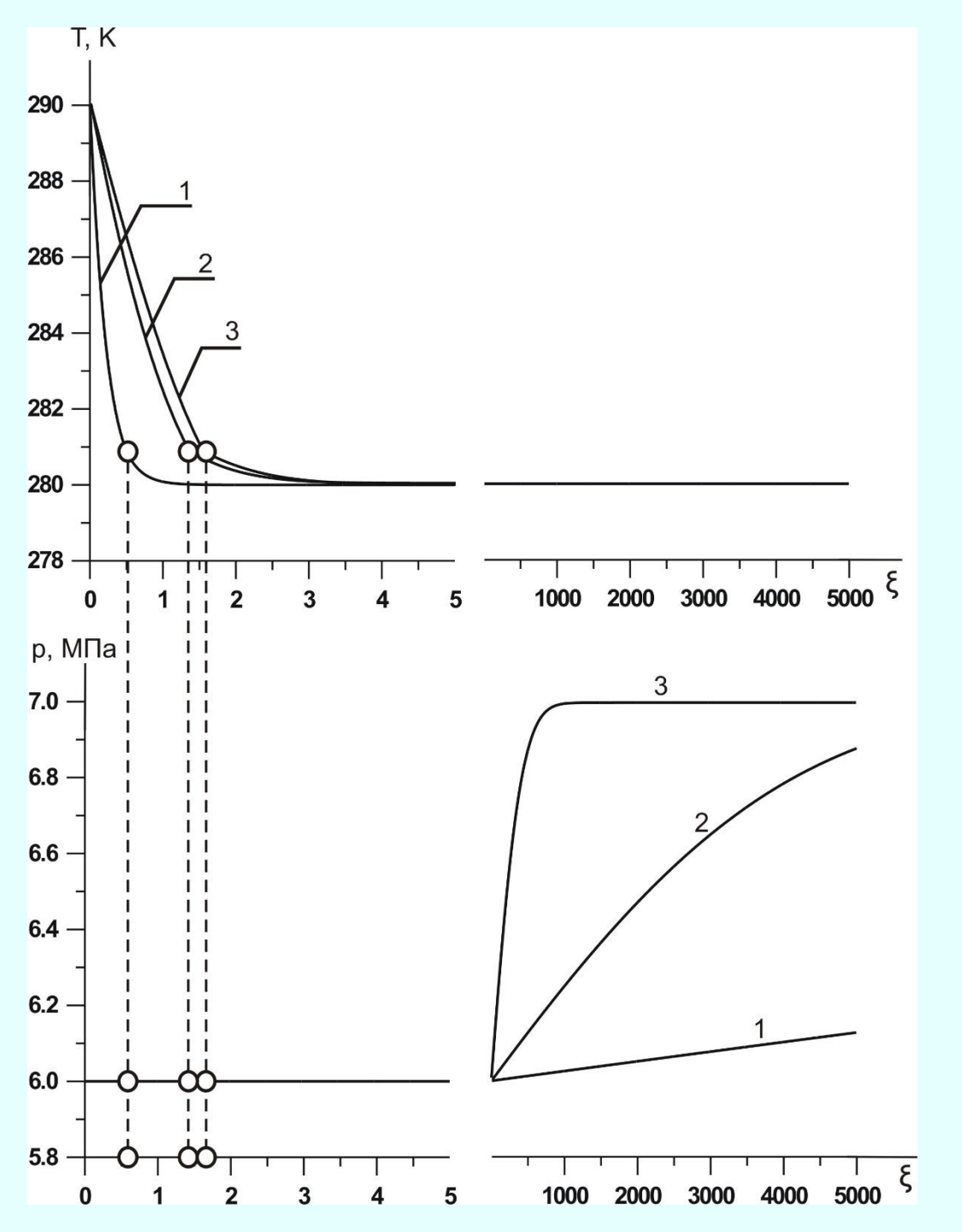


Рис 6. Распределения температуры для случая, когда разложение идёт только за счёт нагревания. Линии 1 и 2 соответствуют значениям $T_{\rm e} = 290$; 300 K.



 $S_{g(i)}$ - газонасыщенность $v_{g(i)}$ - массовая скорость потока газа